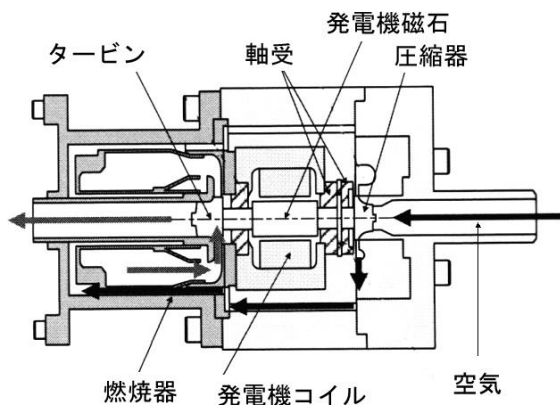
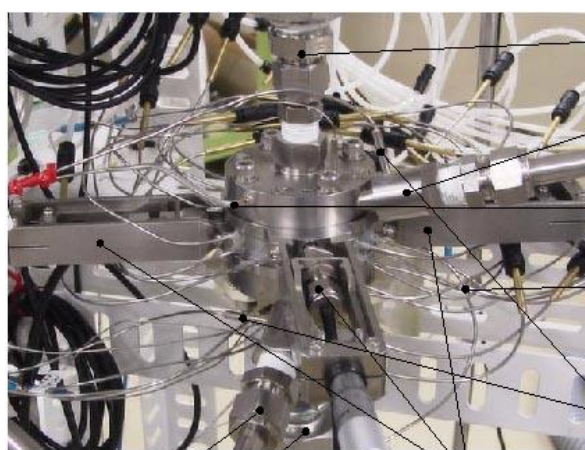
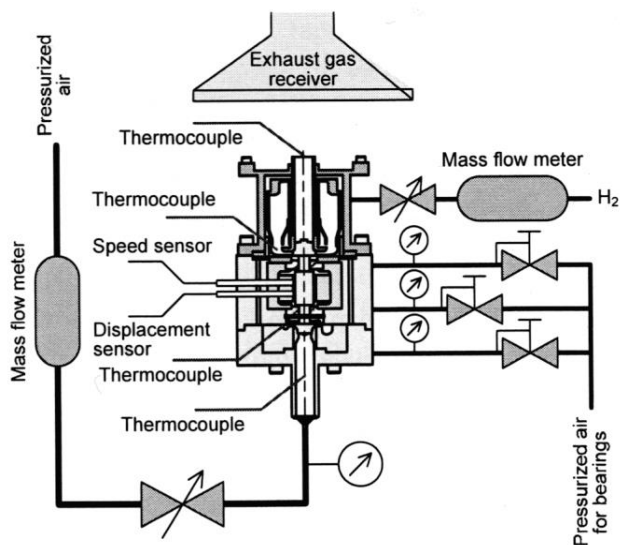


F1 小形ガスタービンエンジン発電機



IHIの小型ガスタービン発電機システム



タービン出口
入口
圧力センサ
空気軸受用
空気供給口
熱伝対

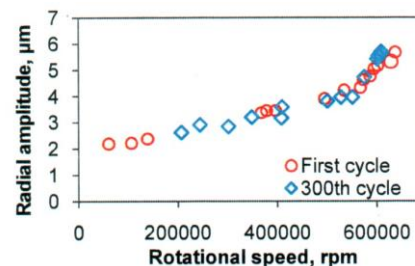
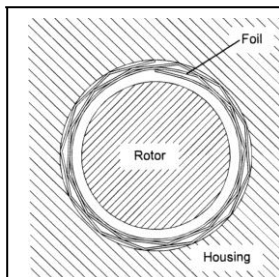
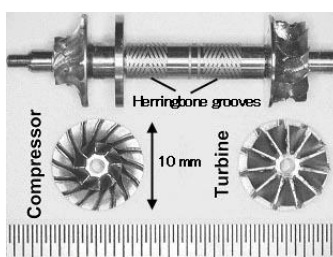
コンプレッサ出口
入口
光学式変位センサ

小形ガスタービンエンジン発電機 (Tohoku Univ. - IHI Corp. - Tohoku-Gakuin Univ. - Tokyo Metropolitan Univ. - The Univ. of Tokyo) (屋外作業ロボット他用)

参考文献 : S.Tanaka, K.Hikichi, S.Togo, M.Murayama, Y.Hirose, T.Sakurai, S.Yuasa, S.Teramoto, T.Niino, T.Mori, M.Esashi and K.Isomura, World's Smallest Gas Turbine Establishing Brayton Cycle, Technical Digest, Power MEMS 2007 (2007) pp.359-362



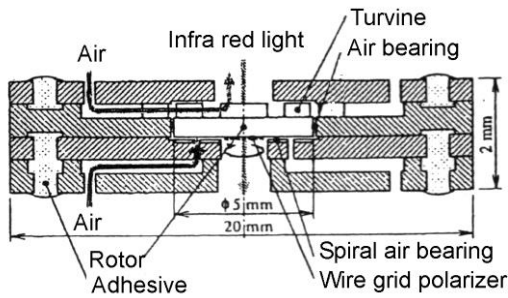
タービンの製作に用いた5軸ステージ高速スピンドル加工機 (東芝機械 F-MACH)



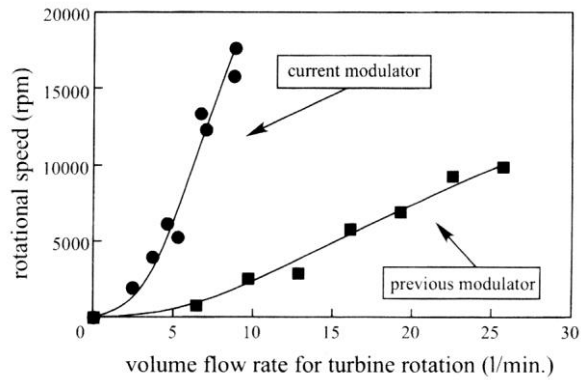
小形ガスタービンエンジン発電機のためのテープ型ラジアルフォイル軸受 (東北大 - IHI - 東北学院大)

参考文献 : K.Hikichi, S.Togo, K.Isomura, N.Saji, M.Esashi and S.Tanaka, Ultra-high-speed Tape-type Radial Foil Bearing for Micro Turbomachinery, Technical Digests Power MEMS 2009 (2009) pp.79-82

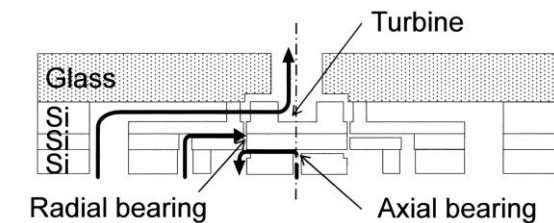
F2 Si マイクロタービンと熱電発電



高速偏光変調のための Si エアタービン

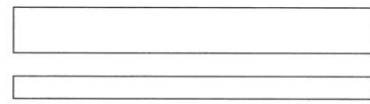


参考文献 : S.Tanaka, M.Hara and M.Esashi, Mechanical Polarization Modulator Using Micro-turbo Machinery for Fourier Transform Infrared Spectroscopy, Sensors and Actuators, A 96 (2002) pp.215-222

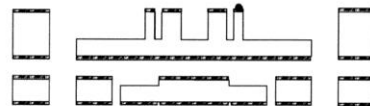


内向流ラジアル軸受けを用いた Si エアタービン

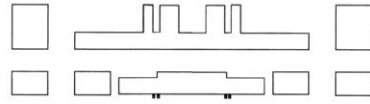
1) Preparation of 2nd and 3rd silicon wafer



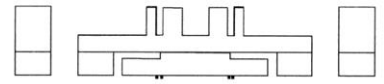
2) SiO₂ deposition, patterning and DRIE



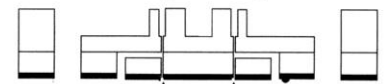
3) SiO₂ etching



4) Direct bonding

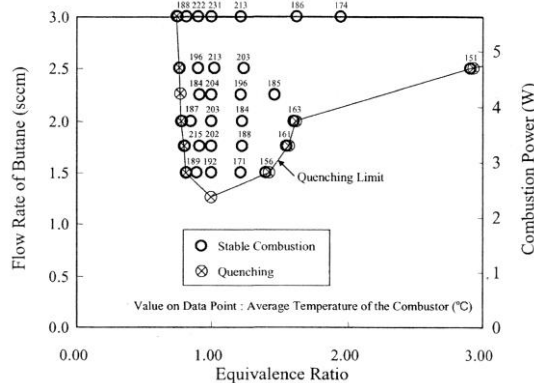
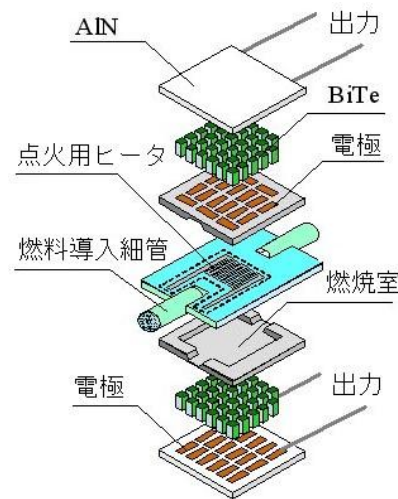


5) Photolithography and cavity-through DRIE

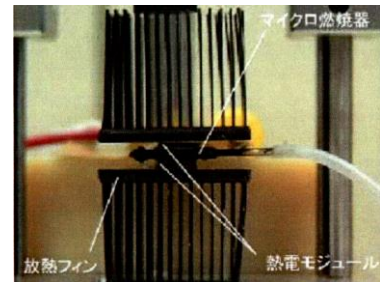
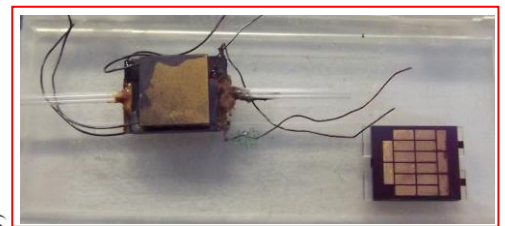


Cavity-through deep reactive ion etching

参考文献 : S.Tanaka, Y.Miura, P.Kang, K.Hikichi and M.Esashi, MEMS-based Air Turbine with Radial-inflow Type Journal Bearing, Trans. on Electrical and Electronic Engng. 3 (2008) pp.297-304

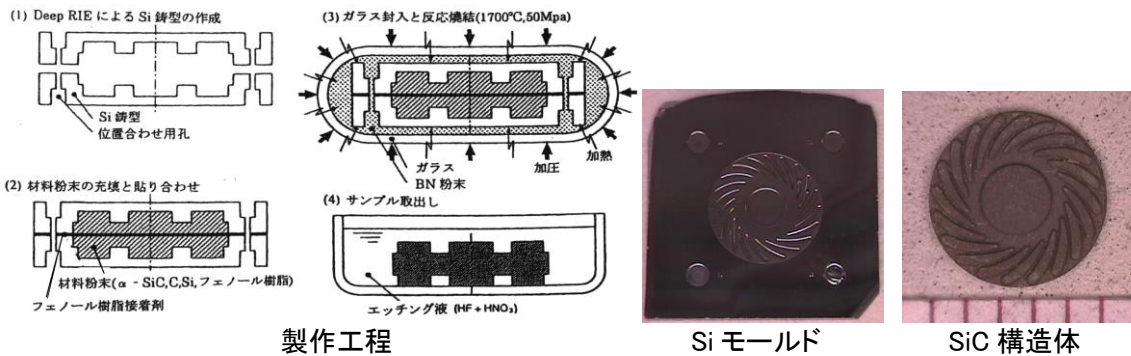


熱電発電



参考文献 : K.Yoshida, S.Tanaka, S.Tomonari, D.Satoh and M.Esashi, High-Energy Density Miniature Thermoelectric Generator Using Catalytic Combustion, J. of Microelectromechanical Systems, 15 (2006) pp. 195-203

F3 ロストモールドプロセスの SiC と PZT, 反応焼結の Si₃N₄



製作工程

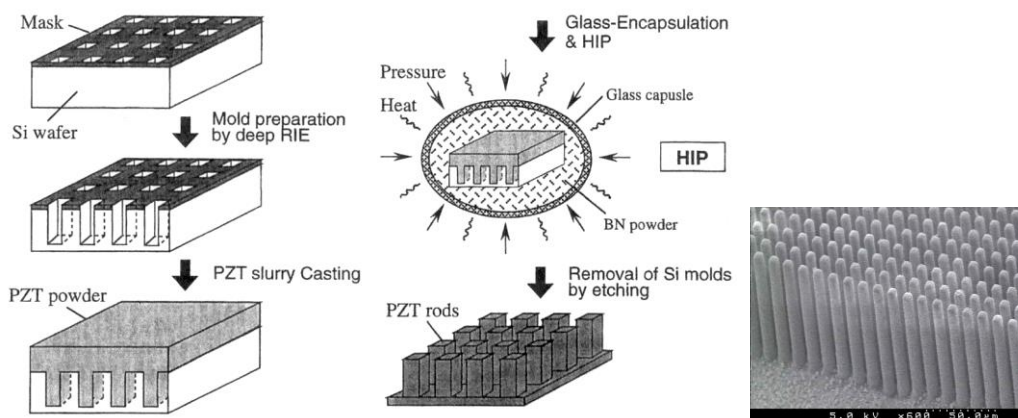
Si モールド

SiC 構造体

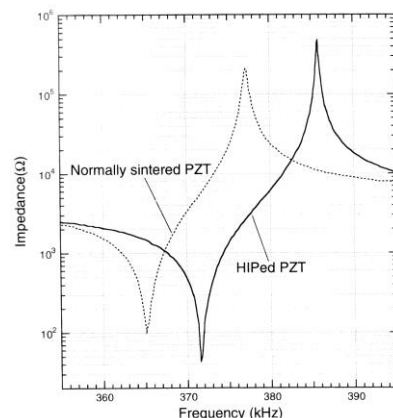


ロストモールドプロセスによる SiC 構造体

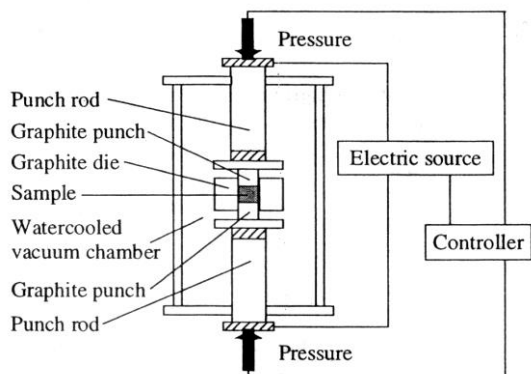
参考文献 : S.Tanaka, S.Sugimoto, J.F.Li, R.Watanabe and M.Esashi, Silicon Carbide Micro-Reaction -Sintering Using Micromachined Silicon Molds, J. of Microelectromechanical Systems, 10 (2001) pp.55-61



ロストモールドプロセスによる PZT 構造体



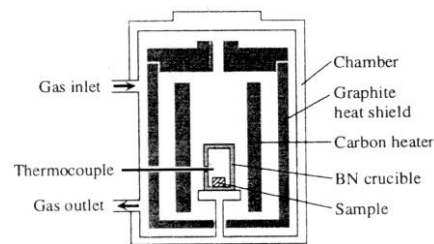
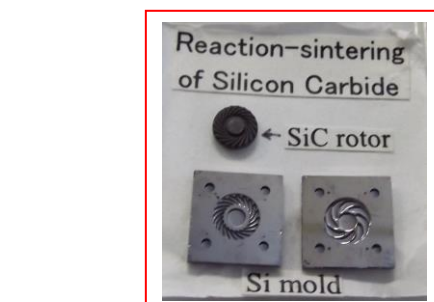
参考文献 : J.-F.Li, S.Wang, K.Wakabayashi, M.Esashi and R.Watanabe, Properties of Modified Lead Zirconate Titanate Ceramics Prepared at Low Temperature (800° C) by Hot Isostatic Pressing, J.American Ceramic Soc., 83 (2000) pp.955-957



Si 粉末のスパークプラズマ焼結



機械加工

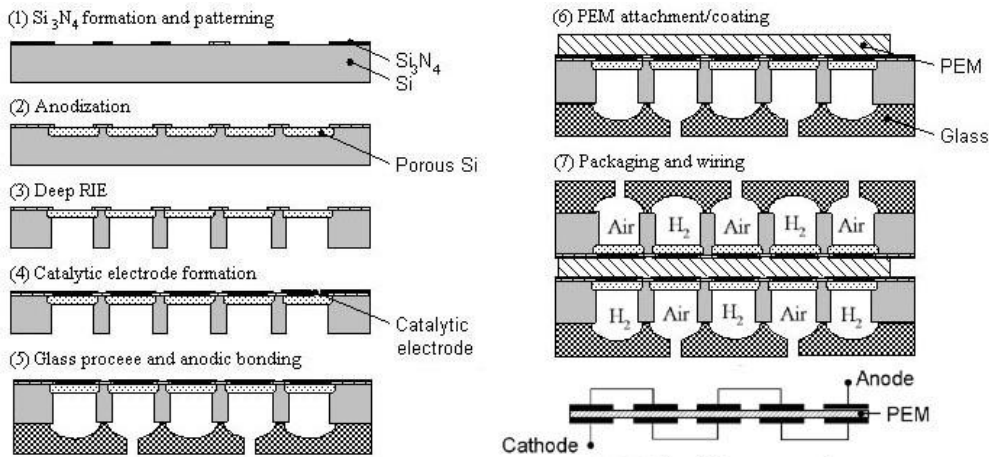


N₂ 中での反応焼結による Si₃N₄ 化 (1400°C)

Si 粉末のスパークプラズマ焼結後、機械加工および N₂ 中での反応焼結による Si₃N₄ 構造体

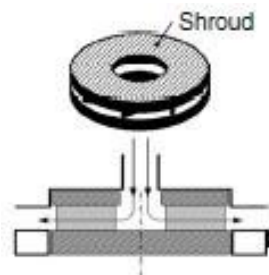
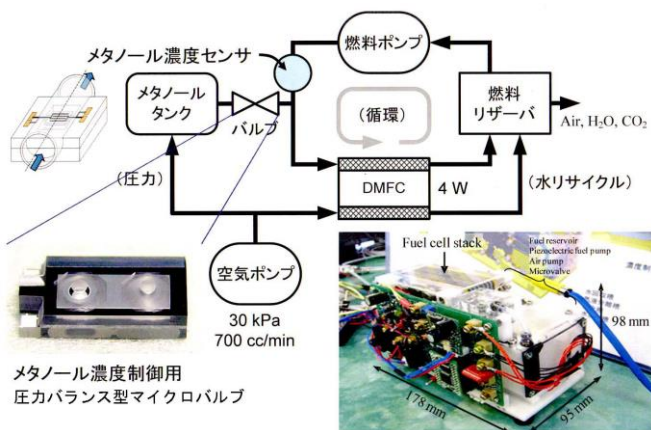
参考文献 : S.Sugimoto, S.Tanaka, J.-F.Li, T.Yamada, R.Watanabe and M.Esashi, Three-Dimensional Micromachining of Silicon Nitride for Power Microelectromechanical Systems, Technical Digest of the Transducers' 01 (2001) pp.1140-1143

F4 マイクロ燃料電池



ポラス Si をガス透過膜に用いた高分子電解質膜(PEM)型燃料電池

参考文献 : K.B.Min, S.Tanaka and M.Esashi, MEMS-Based Polymer Electrolyte Fuel Cell, *Electrochemistry(電気化学および工業物理化学)*, 70 (2002) pp.924-927

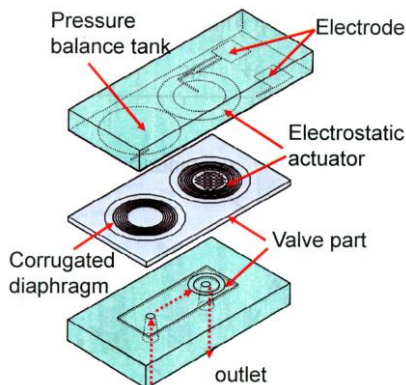
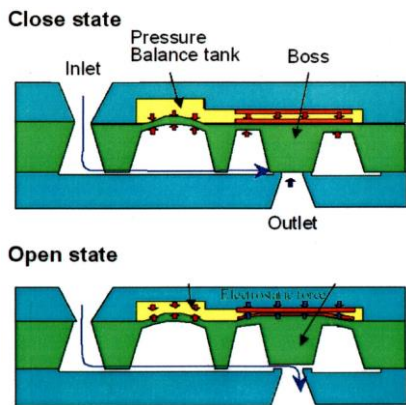


SU-8 インペラターボ空気ポンプ

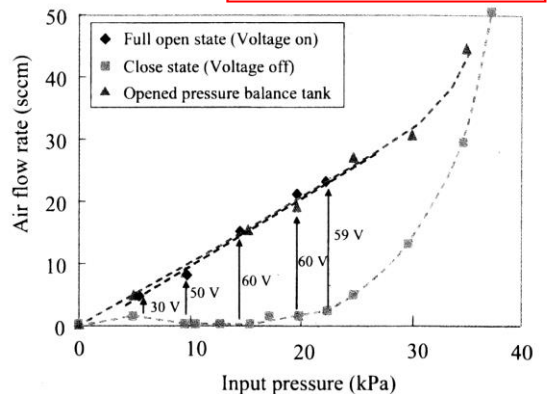


直接メタノール小形燃料電池システム (東北大 - 松下電工)

(東北大 - 日本化薬)



圧力バランス型マイクロバルブ (東北大 - 松下電工)



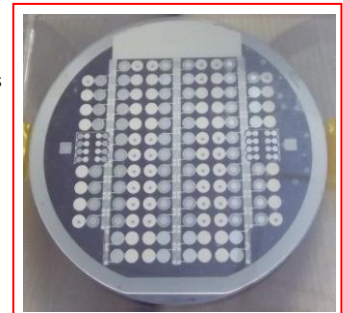
参考文献 :

S.Tanaka, K.-S.Chang, K.-B.Min, D.Satoh, K.Yoshida and M.Esashi, MEMS-based Components of a Miniature Fuel Cell/fuel Reformer System, *Chemical Eng. J.*, 101 (2004) pp.143-149

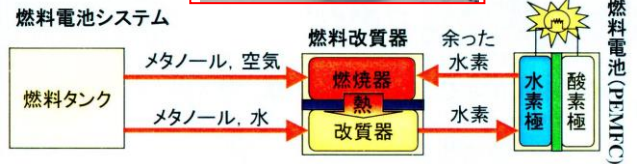
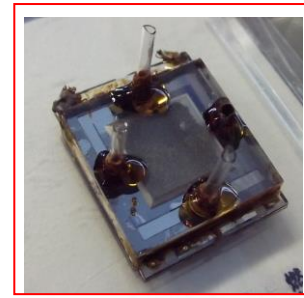
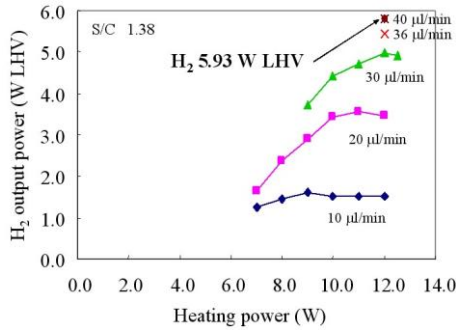
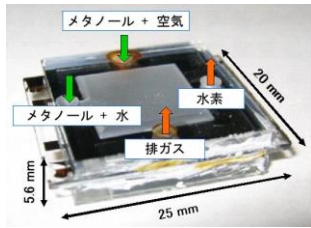
K.Yoshida, S.Tanaka, Y.Hagihara, S.Tomonari and M.Esashi, Normally Closed Electrostatic Microvalve with Pressure Balance Mechanism for Portable Fuel Cell Application, *Sensors and Actuators A*, 157 (2010) pp.290-298

R.Hino, M.Esashi and S.Tanaka, Antisymmetric-mode Lamb Wave Methanol Sensor with Edge Reflectors for Fuel Cell Applications, *Technical Digest MEMS 2010* (2010) pp.871-874

A.Nakajima, P.Kang, N.Honda, K.Hikichi, M.Esashi and S.Tanaka, Fabrication and High-speed Characterization of SU-8 Shrouded Two-dimensional Microimpellers, *J.of Micromech. Microeng.*, 17 (2007) pp.S230-S236

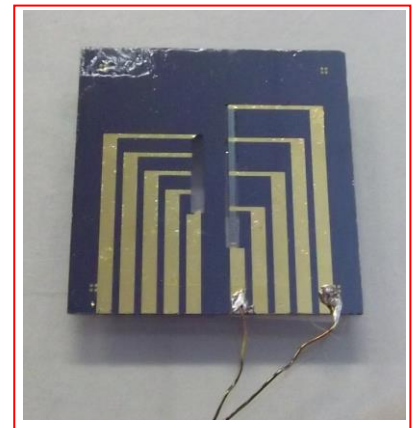
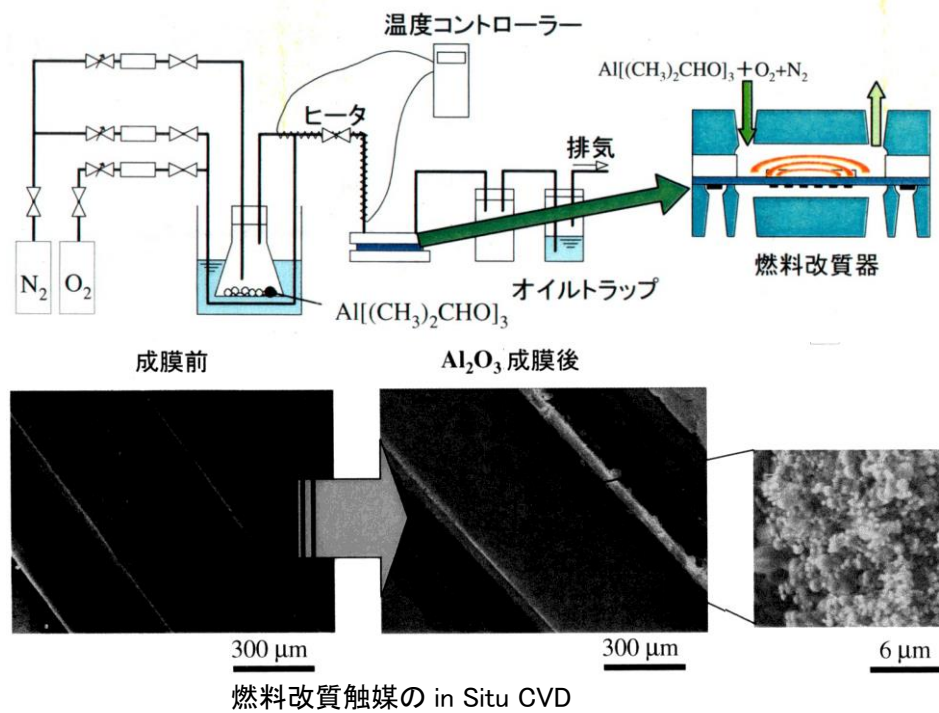


F5 マイクロ燃料改質器

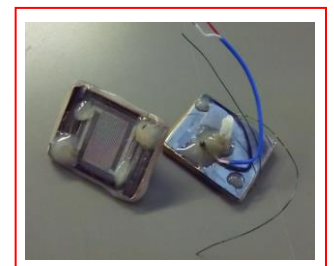
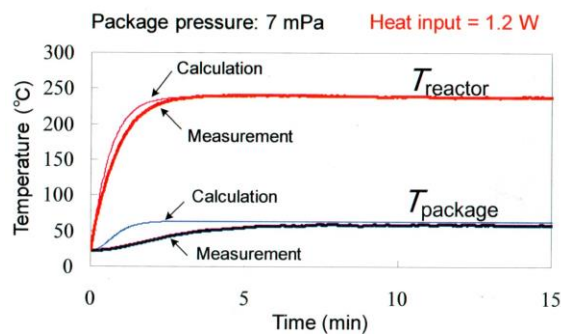
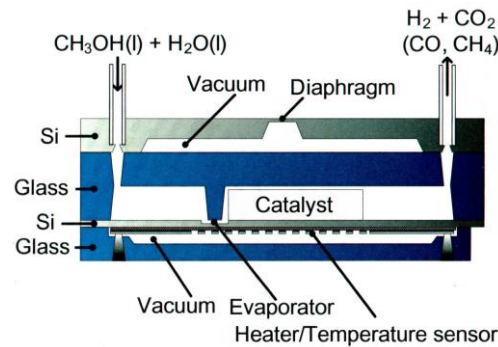


マイクロ燃料改質器 (東北大 - 松下電工)

参考文献 : K.Yoshida, S.Tanaka, H.Hiraki and M.Esashi : A Micro Fuel Reformer Integrated with a Combustor and a Microchannel Evaporator, J.of Micromech. Microeng., 16 (2006) pp.S191-S197



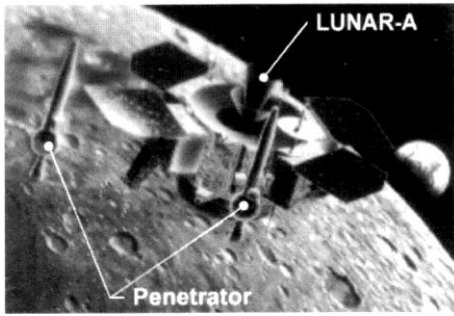
参考文献 : T.Takahashi, S.Tanaka and M.Esashi : Development of an in Situ Chemical Vapor Deposition Method for an Alumina Catalyst Bed in a Suspended Membrane Micro Fuel Reformer, J.of Micromech. Microeng., 16, (2006) pp.S206-S210



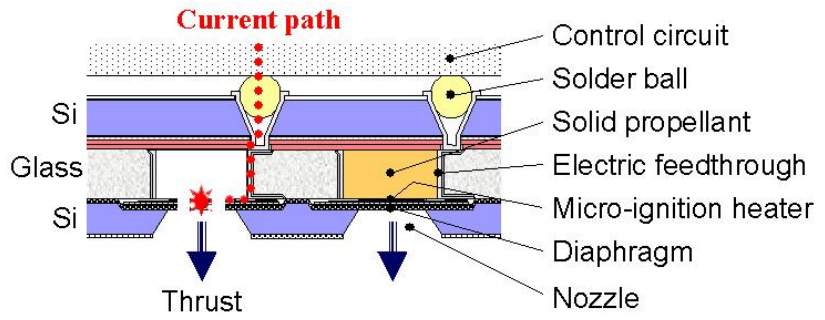
真空断熱マイクロ燃料改質器

参考文献 : A.Kasuga, S.Tanaka and M.Esashi, Design and Fabrication of a Vacuum-packaged Micro Fuel Reformer, Technical Digest, Power MEMS 2007 (2007) pp.35-38

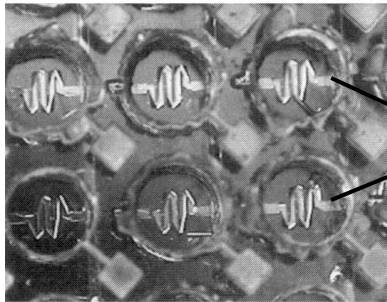
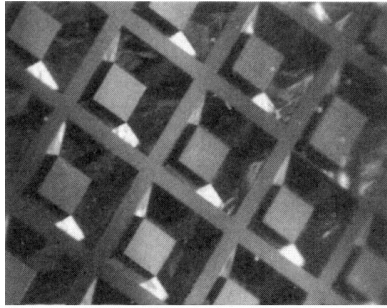
F6 デジタルマイクロスラスタ (固体ロケットエンジンアレイ)



目的



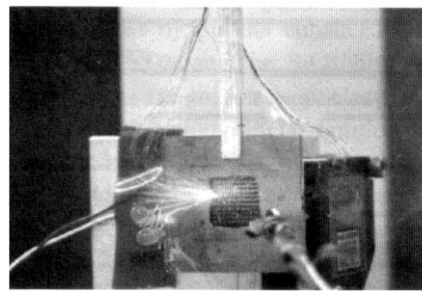
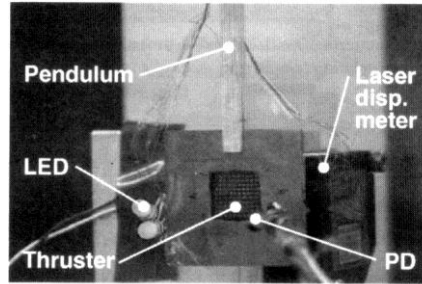
構造



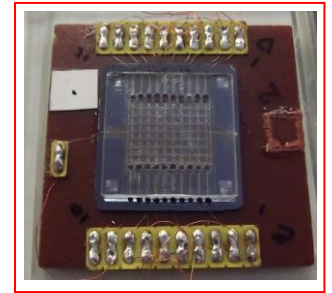
点火用ヒータ

表面と裏面の写真

デジタルマイクロスラスタ (東北大 - 宇宙研)

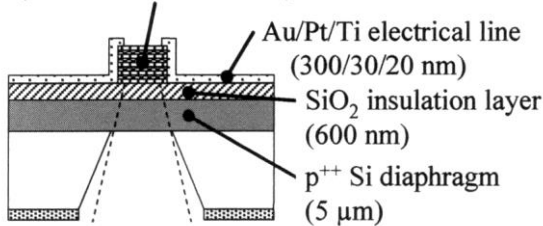


点火時のスラスト力測定

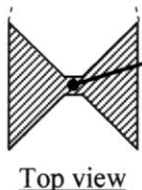


参考文献 : S.Tanaka, R.Hosokawa, S.Tokudome, K.Hori, H.Saito, M.Watanabe and M.Esashi, MEMS-Based Solid Propellant Rocket Array Thruster with Electrical Feedthroughs, Trans. Japan Soc. Aero. Space Sci., 46 (2003) pp.47-51

Ti/B/Ti/B/Ti/B/Ti/B/Ti multilayer
(Ti: 250 nm, B: 220 nm)

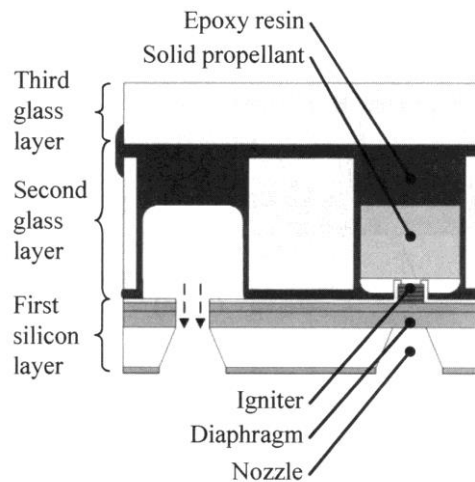


Cross-sectional view

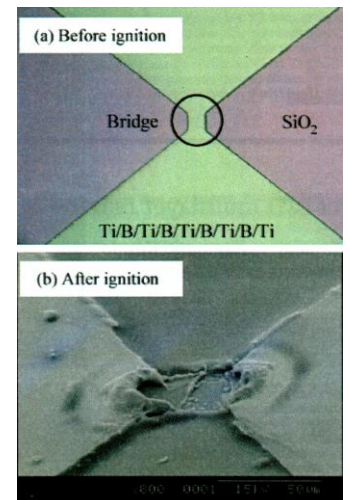


Top view

Bridge
(10 × 10 μm²,
30 × 30 μm²
100 × 100 μm²)

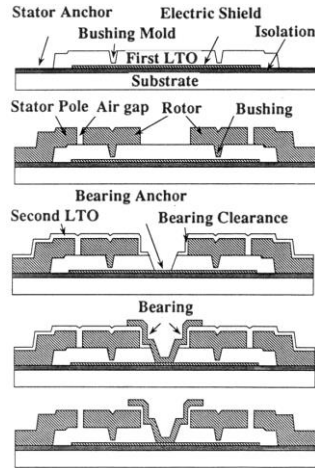


Bi / Ti の反応を用いた点火装置 (東北大 - 宇宙研)



参考文献 : S.Tanaka, K.Kondo, H.Habu, A.Itoh, M.Watanabe, K.Hori and M.Esashi, Test of B/Ti Multilayer Reactive Igniters for a Micro Solid Rocket Array Thruster, Sensors and Actuators A, 144 (2008) pp.361-366

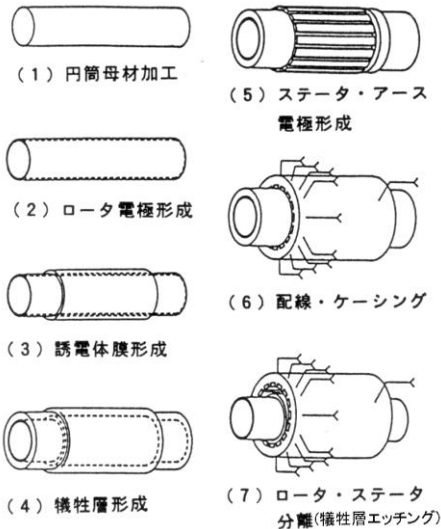
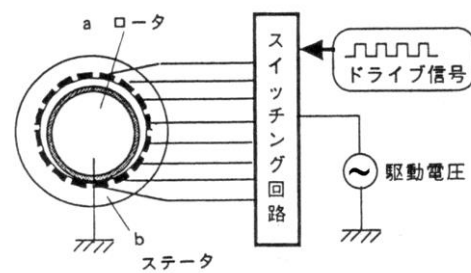
F7 静電マイクロモータ・アクチュエータ



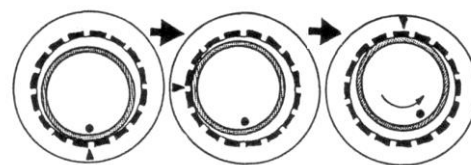
静電マイクロモータ (MIT 米)

参考文献 : M.Mehregany, P.Nagarkar, S.D.Senturia and J.H.Lang, Operation of Micro-fabricated Harmonic and Ordinary Side-driven Motors, IEEE MEMS' 90 (1990) pp.1-8

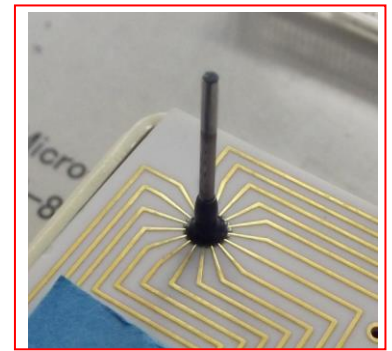
(a) モータの駆動系構成



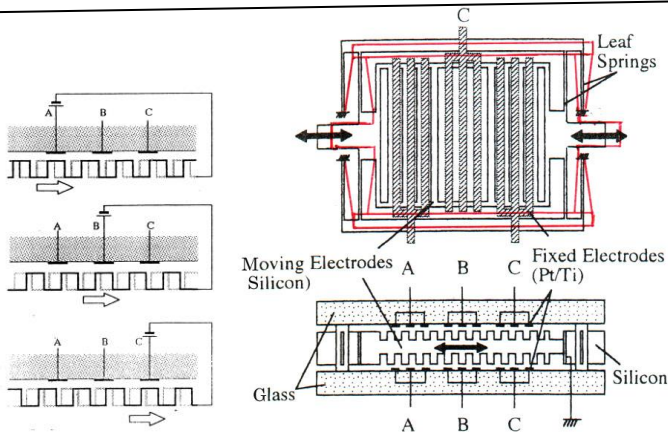
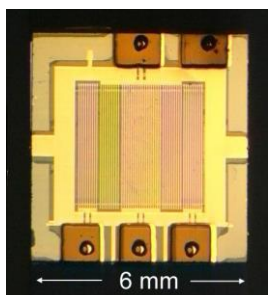
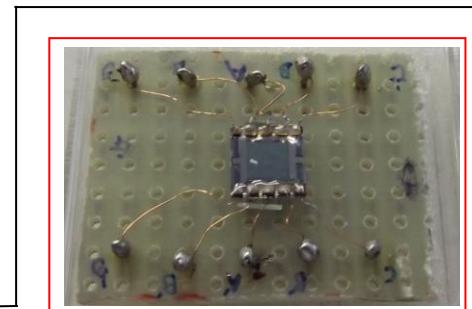
(b) モータの自転と公転の関係



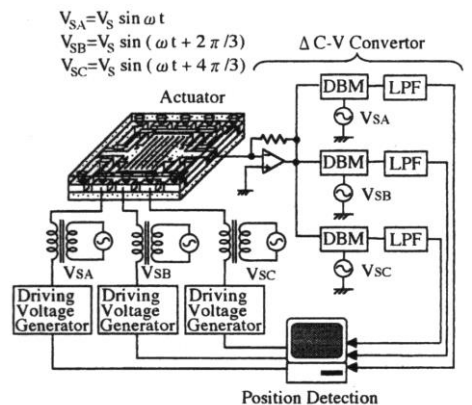
静電ウォブルモータ (松下技研)



参考文献 : 青木新一郎, 小倉洋, 中村邦彦, 小野敦, 静電ウォブルモータ, 信学技報, EMD95-11 (1995) pp.1-6

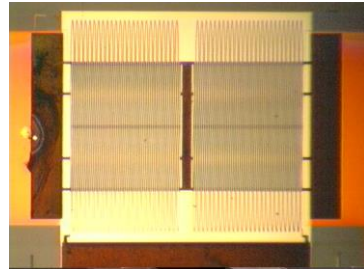
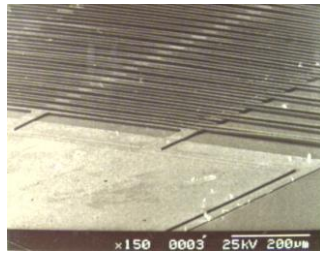
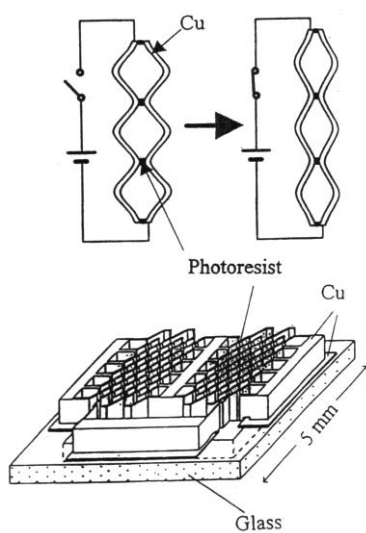


パッケージングしたステッピング静電マイクロアクチュエータ

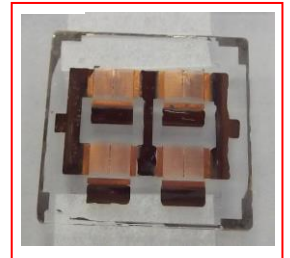
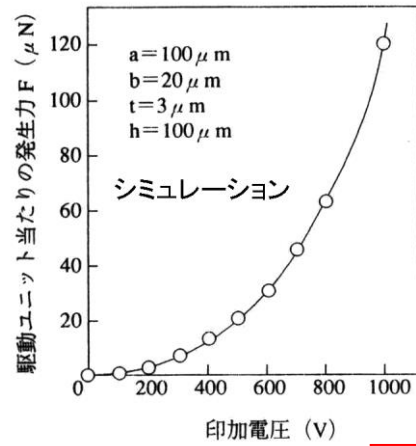


参考文献 : T.Matsubara, M.Yamaguchi, K.Minami and M.Esashi, Stepping Electrostatic Microactuator, Digest of Technical Papers Transducers'93 (1993) pp.50-53

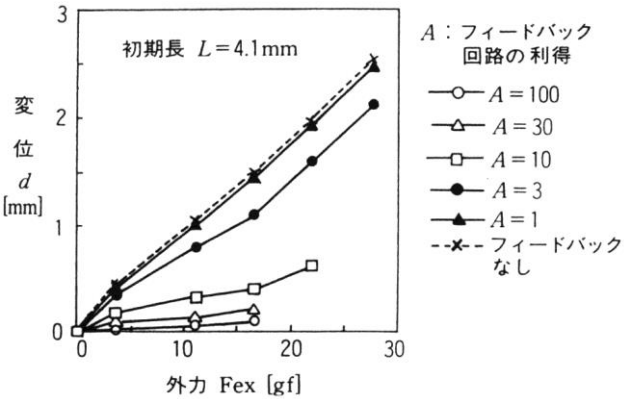
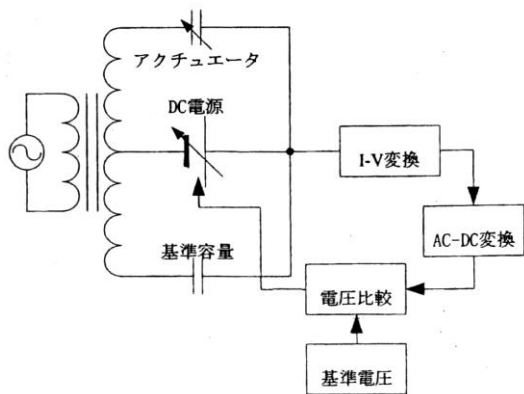
F8 分布型静電マイクロアクチュエータ



分布型静電マイクロアクチュエータ

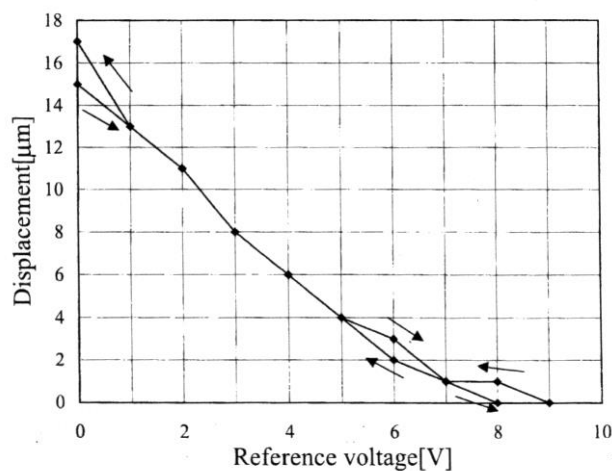
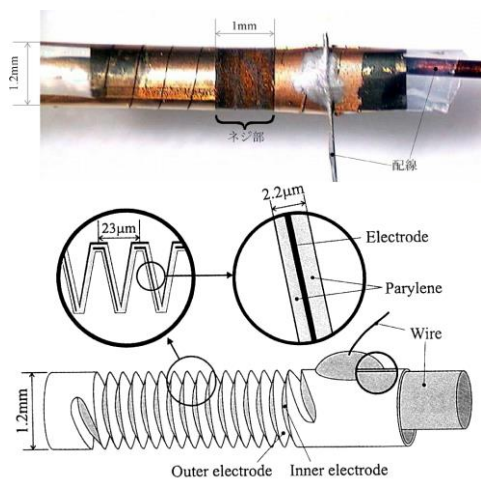


参考文献 : K.Minami, S.Kawamura and M.Esashi, Fabrication of Distributed Electrostatic Micro Actuator, [IEEE Journal of Micromechanical Systems, 2 (1993) pp.121-127



分布型静電アクチュエータのコンプライアンス制御

参考文献 : M.Yamaguchi, S.Kawamura, K.Minami and M.Esashi, Control of Distributed Electrostatic Microstructures, Journal of Micromechanics and Microengineering, 3 (1993) pp.90-95

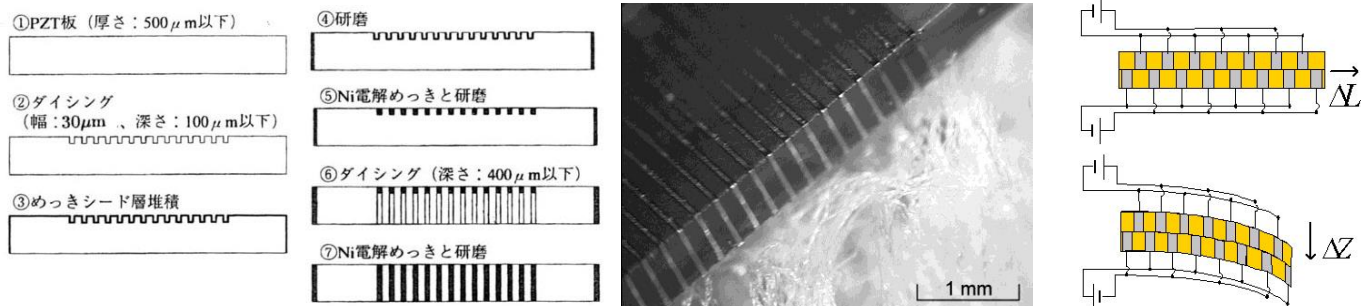


螺旋型静電アクチュエータ



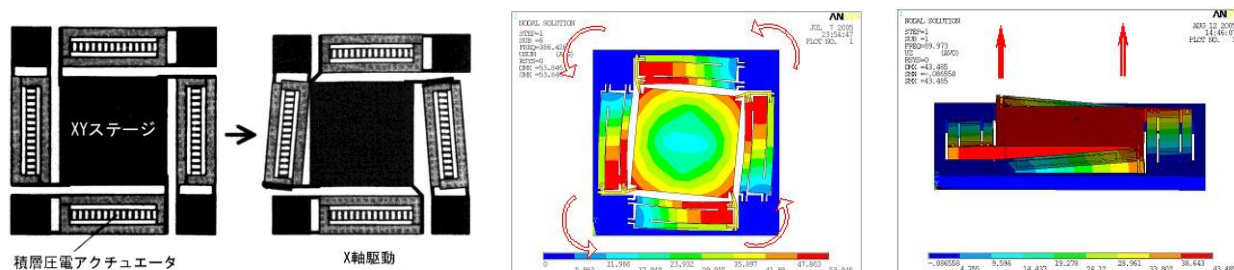
参考文献 : K.Minami, H.Morishita and M.Esashi, A Bellows-shape Electrostatic Microactuator, Sensors and Actuators, 72 (1999) pp.269-276

F9 圧電マイクロステージ



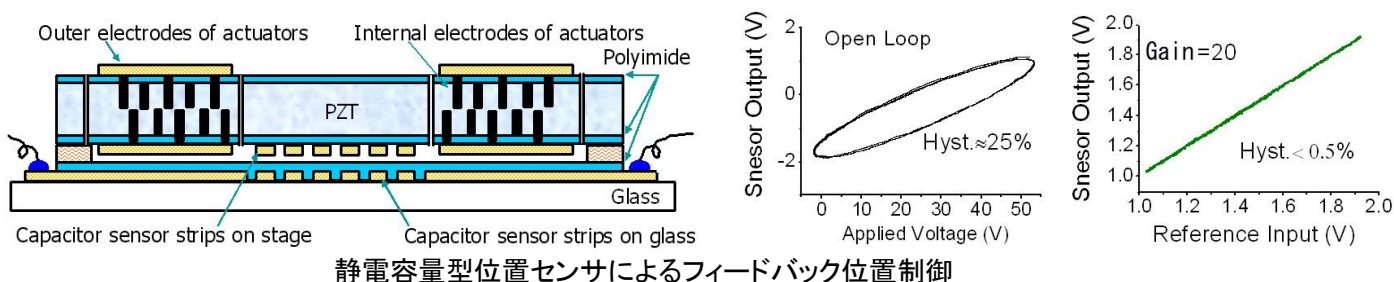
PZT セラミックのダイシングと電解めっきによる多層圧電アクチュエータ

参考文献 : G.Suzuki and M.Esashi, Planer Fabrication of Multilayer Piezoelectric Actuator by Groove Cutting and Electroplating, Proc. of the Micro Electro Mechanical Systems'2000 (2000) pp.46-51



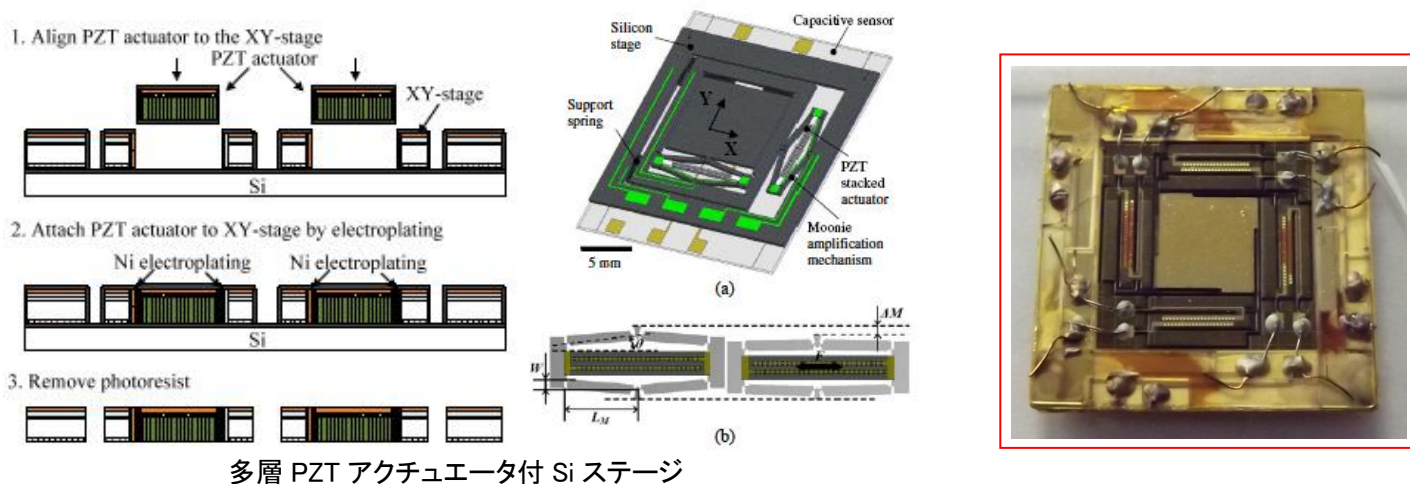
PZT セラミック板 XYZ θ ステージ

参考文献 : D.Zhang, C.Chang, T.Ono and M.Esashi, A Piezodriven XY-microstage for Multiprobe Nanorecording, Sensors and Actuators, A 108 (2003) pp.230-233



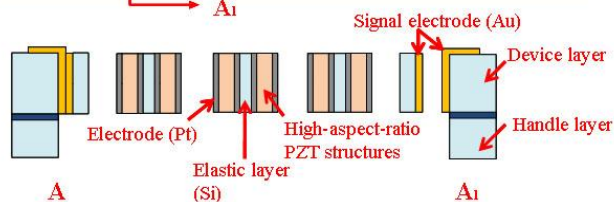
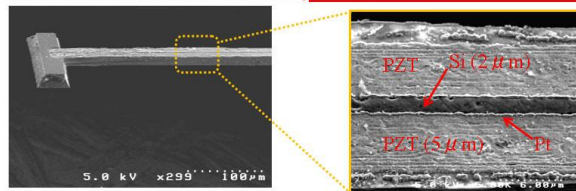
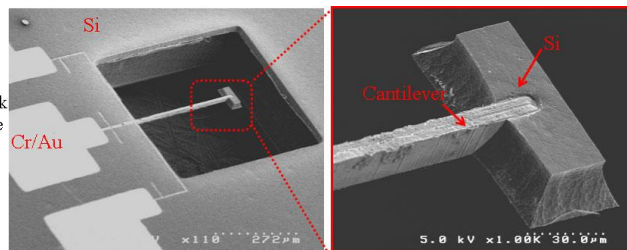
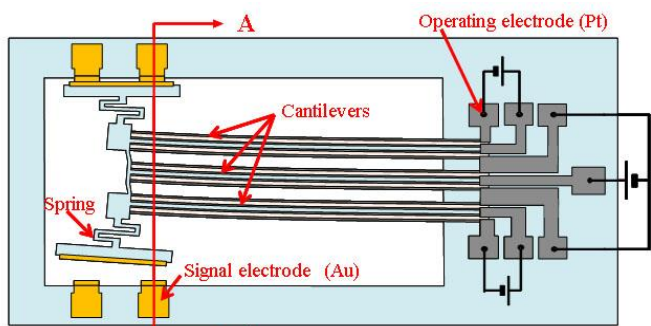
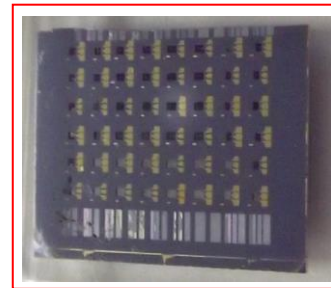
静電容量型位置センサによるフィードバック位置制御

参考文献 : H.G.Xu, T.Ono and M.Esashi, Precise Motion Control of a Nanopositioning PZT Microstage Using Integrated Capacitive Displacement Sensors, J.of Micromech. Microeng., 16 (2006) pp.2747-2754



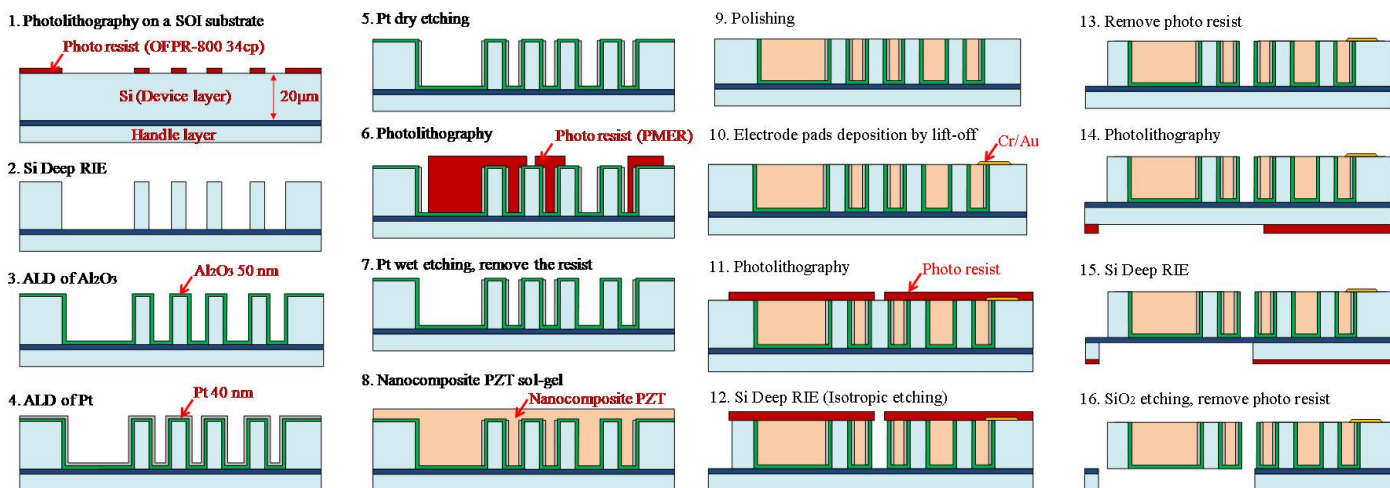
多層 PZT アクチュエータ付 Si ステージ

参考文献 : M.Faizul M.Sabri, T.Ono and M.Esashi, Modeling and Experimental Validation of the Performance of a Silicon XY-microstage Driver by PZT Actuators, J.of Micromech. Microeng., 19 (2009) 095004(9pp)

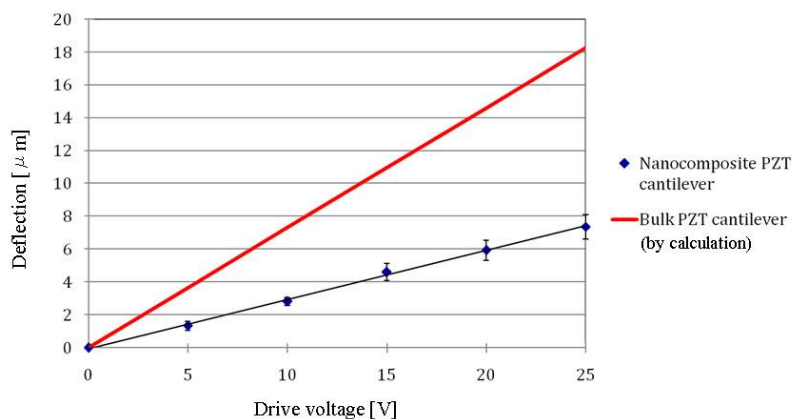
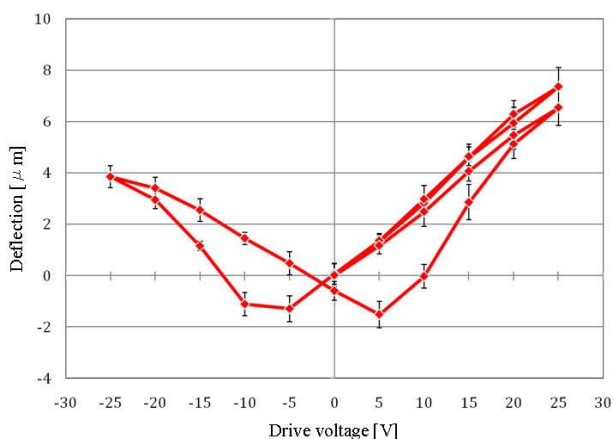


構造

写真



製作工程

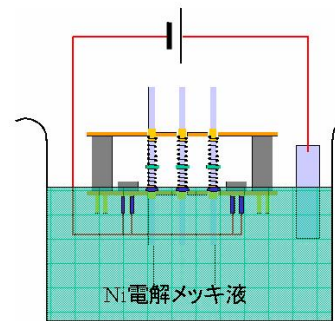
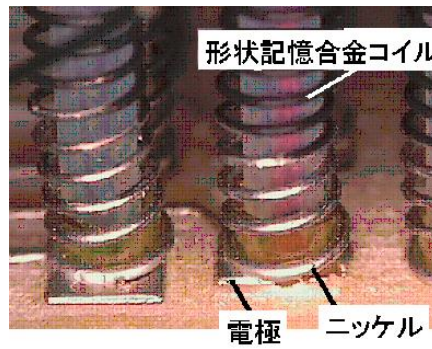
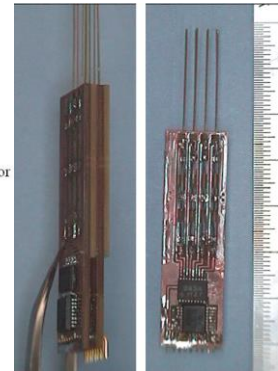
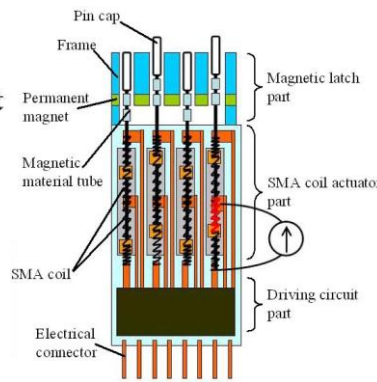
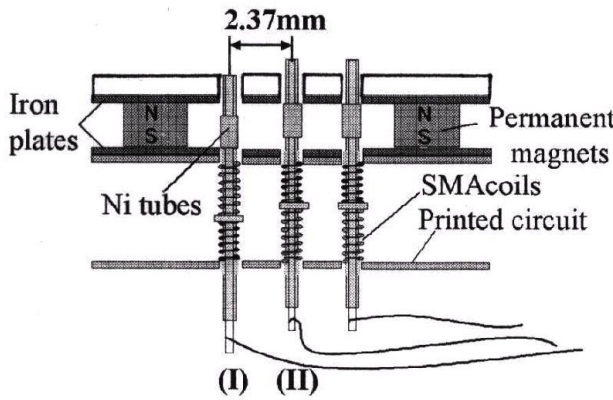


駆動電圧と変位

横方向駆動圧電マイクロアクチュエータ

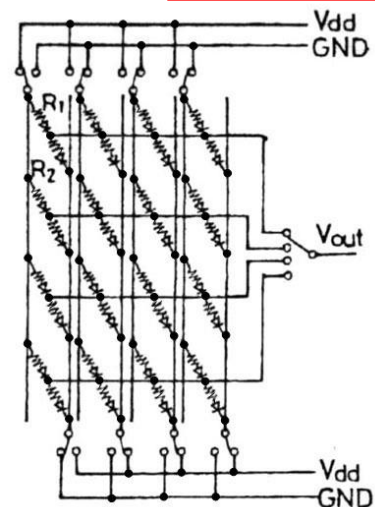
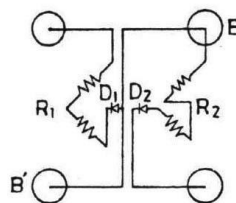
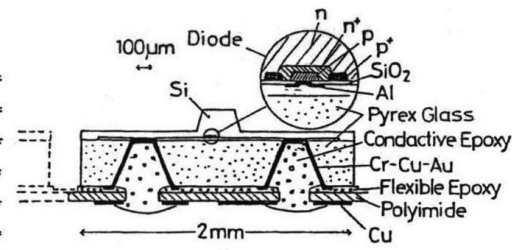
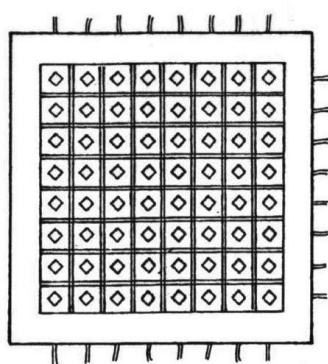
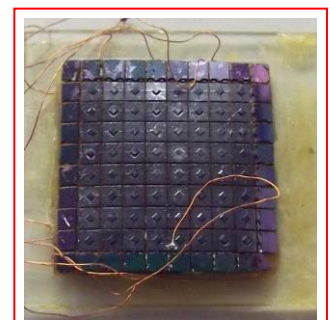
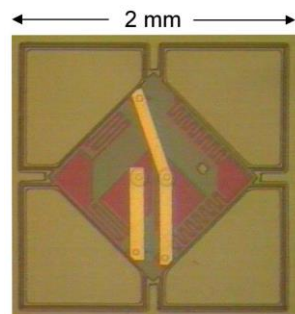
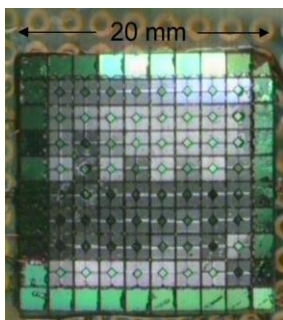
参考文献 : N.Wang, S.Yoshida, M.Kumano, Y.Kawai and M.Esashi, Fabrication of High-aspect-ratio PZT Structure by Nanocomposite Sol-gel Method for Laterally-driven Piezoelectric MEMS Switch, 2012 7th IEEE Intl. Conf. on Nano/Micro Engineered and Molecular Systems (IEEE NEMS 2012) (2012) pp.321-326

F11 触覚ディスプレイと触覚イメージャ



触覚ディスプレイ

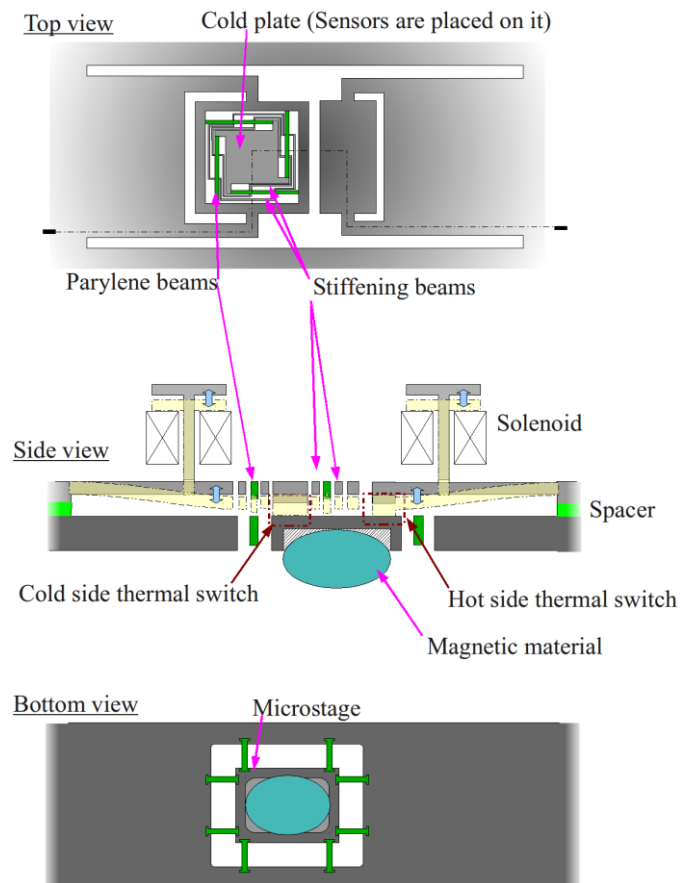
参考文献 : Y.Haga, W.Makishi, K.Iwami, K.Totsu, K.Nakamura and M.Esashi : Dynamic Braille Display Using SMA Coil Actuator and Magnetic Latch, Sensors & Actuators A, 119 (2005) pp.316-322



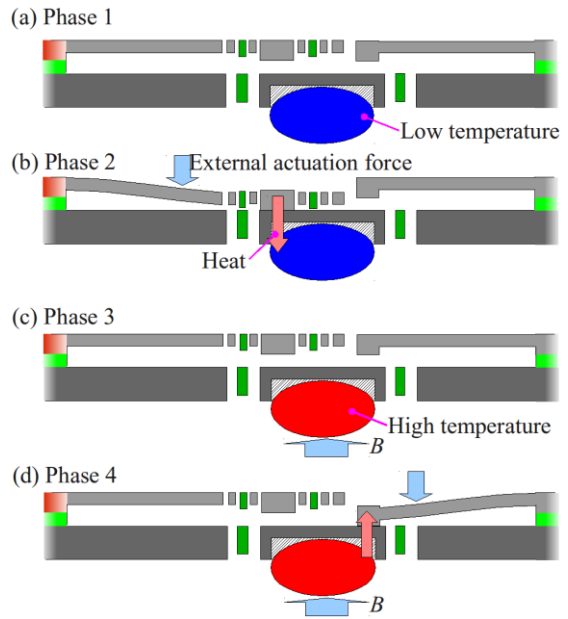
触覚イメージャ

参考文献 : 江刺正喜, 庄子習一, 山本晃, 中村克俊, 半導体触覚イメージャの試作, 電子情報通信学会論文誌 C-II, J73-C-II (1990) pp.31-37

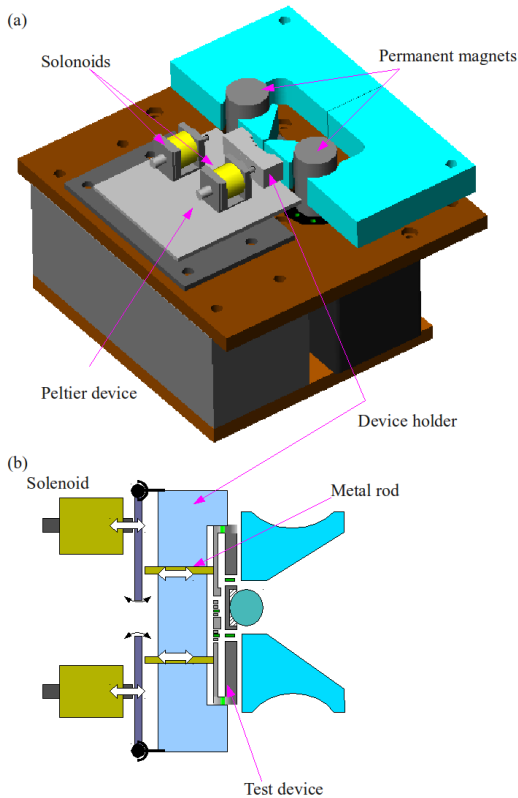
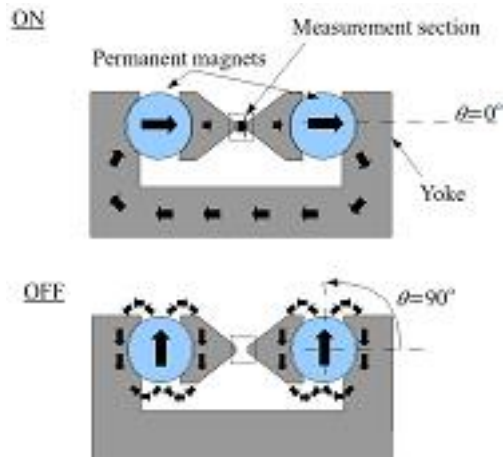
F12 マイクロ磁気冷却機



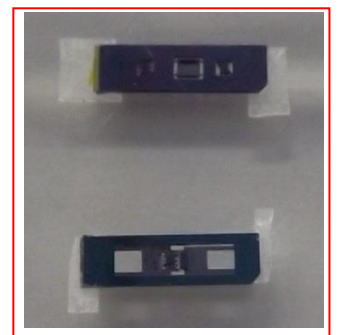
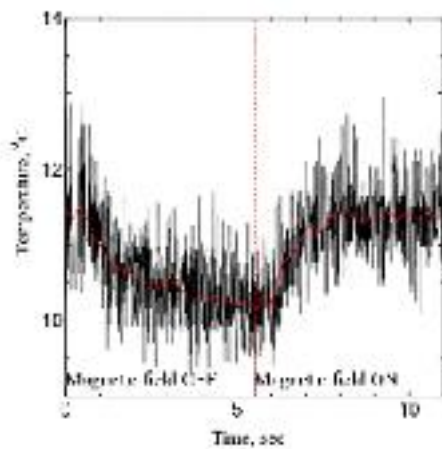
微小デバイスの局所冷却用マイクロ磁気冷却機



磁気冷凍サイクルの動作. (a)断熱消磁による磁性体の冷却. (b)低温側熱スイッチを駆動して、コールドプレート冷却. (c)断熱磁化による磁性体の加熱. (d)高温側熱スイッチを駆動して、外部へ放熱



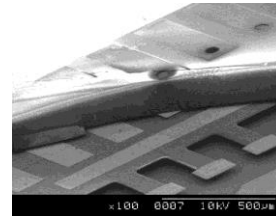
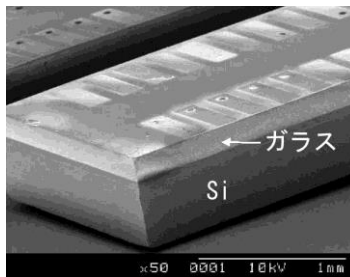
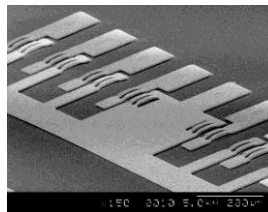
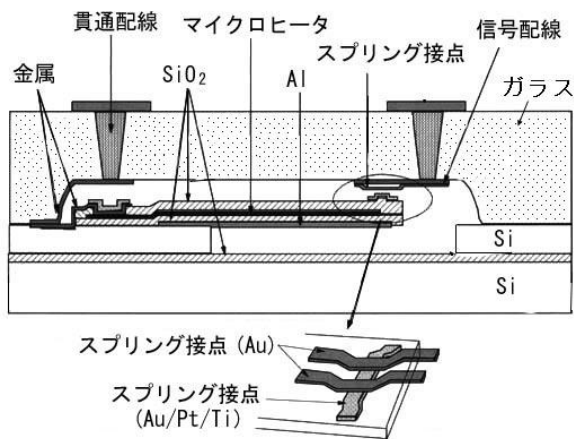
冷凍システム



変動磁場の発生は、永久磁石を回転して行う 変動磁場による、磁性体(La(Fe_xSi_{1-x})₁₃H_y)の温度変化

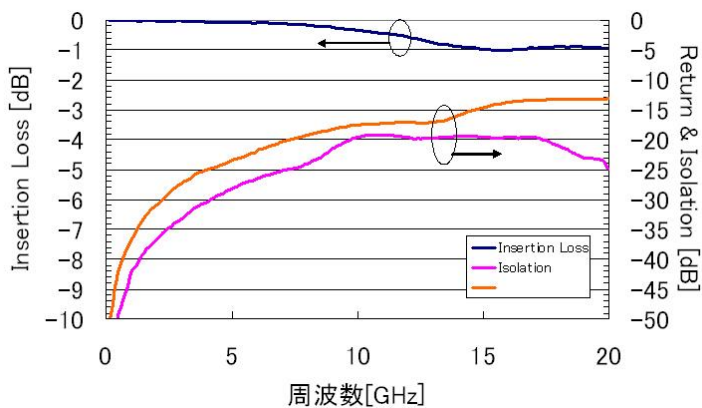
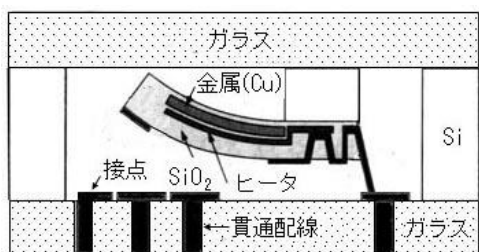
参考文献 : T.Tsukamoto, M.Esashi and S.Tanaka, A Micro Thermal Switch with a Stiffness-enhanced Thermal Isolation Structure, J.of Micromech. Microeng., 21 (2011) 104008(6pp)

F13 熱型 MEMS スイッチ



熱型 MEMS スイッチ

参考文献 : Y.Liu, X.Li, T.Abe, Y.Haga and M.Esashi, A Thermomechanical Relay with Microspring Contact Array, Technical Digest IEEE Micro Electro Mechanical Systems'2001 (2001) pp.220-223



従来の機械スイッチのメリット

- 高耐電圧性
- 良好な高周波アイソレーション特性

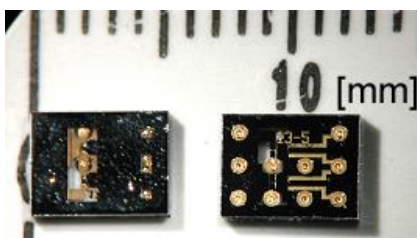
小型化・集積化のメリット

- 高速信号伝播特性

RF MEMSスイッチ

- 静電耐圧 : 1000V
- 周波数帯域 : DC~10GHz

駆動電力	<160mW (6V駆動)
on抵抗	<0.3 Ω (初期)
動作速度	<3ms
接点寿命	8000万回 (3V-15mAドライ)



アドバンテテスト社製
半導体試験装置
T2000 シリーズ

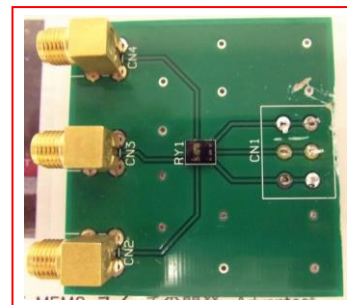
半導体デバイスの性能や動作を試験して良品だけを世の中に送り出しているのがアドバンテテストの半導体試験装置

アドバンテテスト
コンポーネント社製
半導体試験装置を支える
キーデバイスを提供

RF-SIP 部品 RF MEMS スイッチ

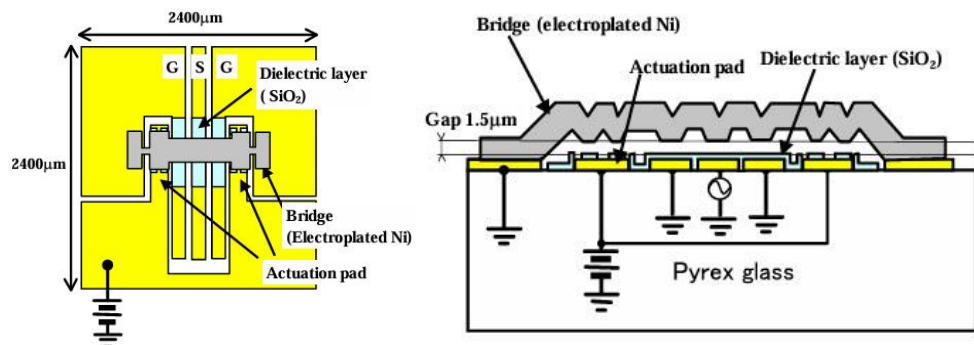
ADVANTEST

LSI テスタ用熱型 MEMS スイッチと生産工場のアドバンテテストコンポーネント (仙台)

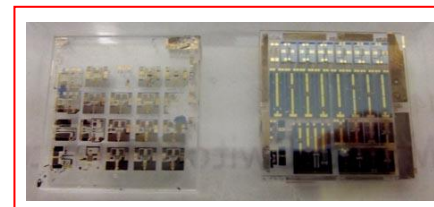
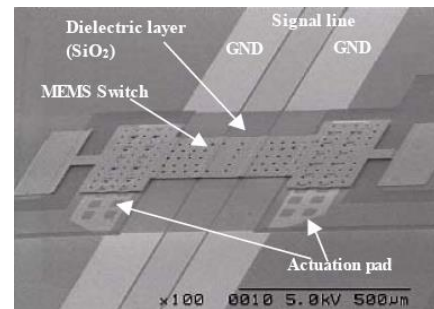


参考文献 : 中村陽登、高柳史一、茂呂義明、三瓶広和、小野澤正貴、江刺正喜: RF MEMS スイッチの開発, Advantest Technical Report, 22 (2004) pp.9-16

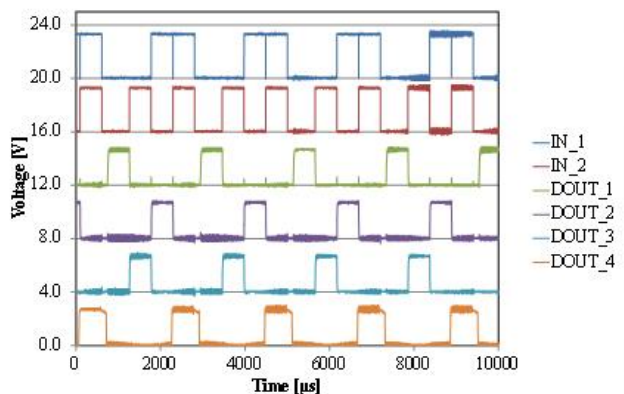
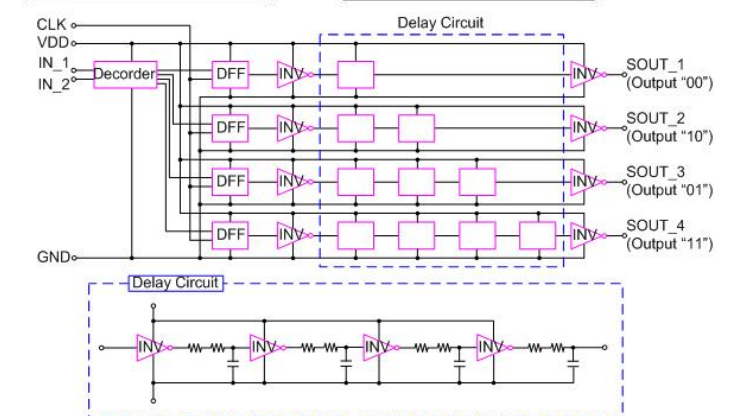
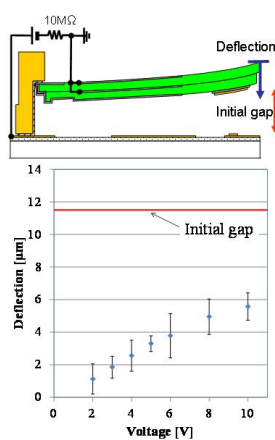
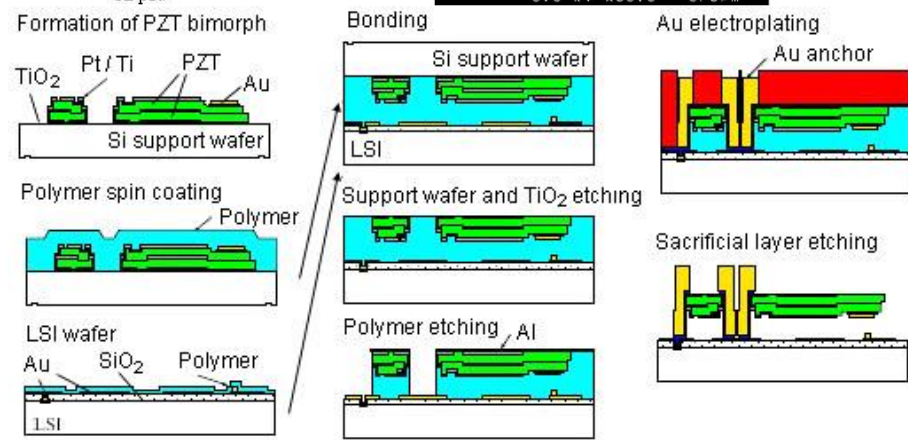
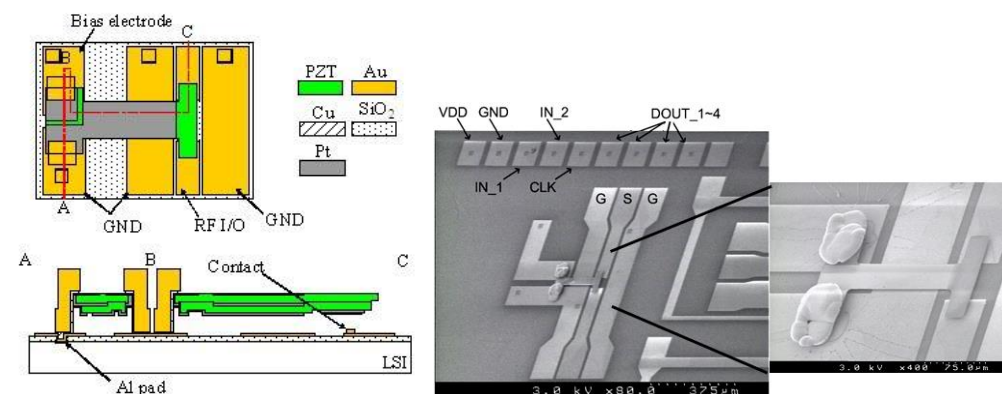
F14 静電・圧電型 MEMS スイッチ



容量変化静電 MEMS スイッチ



参考文献 : T.Yuki, J.H.Kuyppers, S.Tanaka and M.Esashi, Capacitive RF Switch Fabricated by Low-temperature Surface Process and Packaged Using Dry Film Resist, Proc. of the 24th Sensor Symp. (2007) pp.37-40



圧電薄膜 MEMS スイッチ

参考文献 : K.Matsuo, M.Moriyama, M.Esashi and S.Tanaka, Low-voltage PZT-actuated MEMS Switch Monolithically Integrated with CMOS Circuit, Technical Digest IEEE MEMS 2012 (2012) pp.1153-1156